

보 制振 프레임의 振動應答解析

Vibration Response Analysis of frames with energy absorber installed in Beams

李 品¹⁾

Lee, Ho

ABSTRACT

The purpose of this thesis is to derive a theoretical model of the hysteretic resistance of the visco-elastic damper based on test results of harmonic excitation and to investigate on the basis of theory and experiment the effect of vibration control and response characteristics of portal frames degree vibration systems provided with the damper. The behaviour of a visco-elastic damper under dynamic loading is idealized by a model of the theory of visco-elasticity, i.e. a four-parameter model formed as a parallel combination of Maxwell fluid and Kelvin-Voigt models and its constitutive equation is derived. The model parameters are determined for a tested damper from the datas of harmonic excitation tests.

The theoretical model of the damper is incorporated in equation of motion of single degree of freedom. A computer program for solving the equation is written using Runge-kuttas's numerical integration scheme. Using this analysis program test cases of the earthquake excitation are simulated and the results of the simulation are the results of the simulation are compared with the test results.

1. 序論

制振建築의 一環으로써 提示된 보제진라멘은 보의 中央웨브 部分에 開口部를 두어 그 位置에 뎁퍼(damper)를 設置하여 開口部의 剪斷變形에 의해 뎁퍼의 上下運動이 作用하여 振動에너지를 吸收하도록 하는 制振構造이다. 프레임에 水平力이 加해될 時遇에 開口部의 플랜지(flange)는 하나의 部材로서 휨변형이 생기고 그 結果 開口部는 全體 剪斷變形이 일어나 兩端部에서 上下 方向의 相對變位가 생긴다. 뎁퍼는 開口部의 上,下의 相對變位에 의해서 作動되고 프레임의 橫振動에 의해 생기는 에너지를 消費시켜 진동감쇄력을 發生시킨다. 本 研究에서는 보의 開口部에 設置한 뎁퍼로서 粘彈性댐퍼를 使用하였다. 本 論文에서는 이 粘彈性 뎁퍼의 實驗結果로부터 뎁퍼 저항의 理

1) 상주산업대학교 건축공학과 전임강사, 정회원

論 모델을 完成시켜 1質点系에 粘彈性댐퍼를 適用시켰을 때 制振效果와 振動特性을 理論的으로 明確히 把握하는데 있다.

2. 振動系의 모델

粘彈性댐퍼의 抵抗特性은 線型 粘彈性理論에 의한 Kelvin-Voigt모델과 Maxwell 流體모델의 4要素複合모델을 適用시킨 履歷曲線과 거의 같은 履歷性狀을 나타내는데 있다. 本節에서는 粘彈性댐퍼를 1質点系에 附加시킨 振動系의 應答解析을 행한다. 應答解析은 Maxwell형 모델의 振動系應答解析法을 使用하고 振動方程式은 Runge-Kutta 法으로 수치시뮬레이션을 한다. 1質点系에 Kelvin-Voigt모델과 Maxwell流體의 4要素 複合모델(粘彈性댐퍼)를 適用시킨 境遇 振動系의 모델은 그림 2.1과 같다.

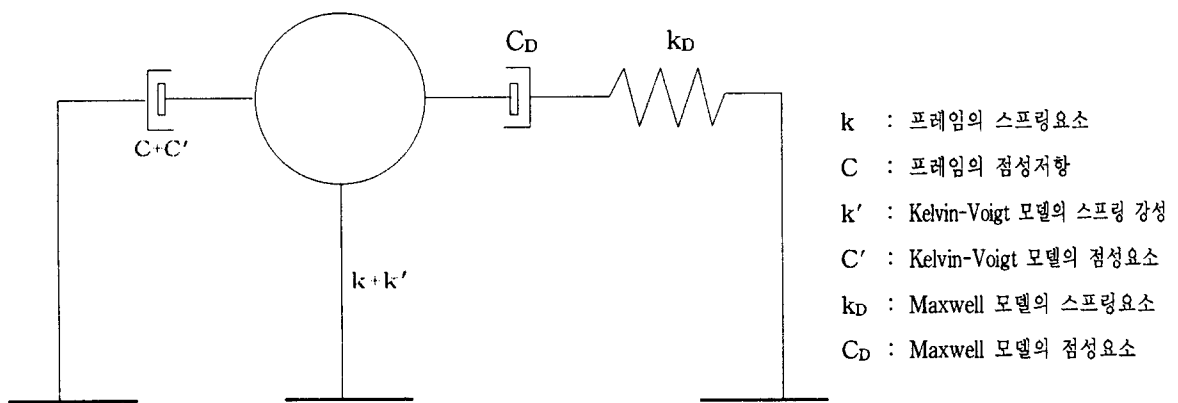


그림 2. 1 4要素複合모델을 適用시킨 境遇의 振動系

振動方程式의 數值積分에 있어서 Maxwell 모델의 抵抗力의 予測式은 아래와 같다.

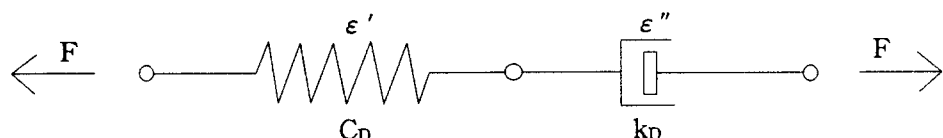


그림 2. 2 Maxwell 流體 모델

그림 2. 2에 나타난 Maxwell 型 모델의 全變形 x 는

$$x = x' + x'' \quad \dots \dots \dots \dots \dots \dots \dots \quad (2. 1)$$

여기서 x' : 스프링의 변형
 x'' : 점성요소의 변형

스프링變形 x' 는

또한, 粘性要素의 變形速度 \dot{x}'' 는 式(2. 3)으로 나타낼 수 있다.

$$C_D \cdot \dot{x}'' = F \quad \dots \dots \dots \dots \dots \dots \dots \quad (2.3)$$

(2. 1)式을 微分하면

(2. 4)式에 (2. 2), (2. 3)式을 대입하면

$$F(t) + \frac{K_D}{C_D} F(t) = K_D \cdot \dot{x}'(t) \quad \dots \dots \dots \dots \dots \dots \dots \quad (2.5)$$

로 나타낼 수 있어 $x(t)$ 는 땜퍼의 全變位量이 된다.

時刻 t_{n-1} 과 t_n 間의 時間差는 $\Delta t = t_n - t_{n-1}$ 이므로 時刻 t_n , t_{n-1} 에 있어서 節點力を 各各 F_n , F_{n-1} 로 놓으면 F_n 의 推定值를 (2.6)式으로 나타낼 수 있다.

$$F_n = F_{n-1} + \frac{\Delta t}{2} (F_n + F_{n-1}) \quad \dots \dots \dots \dots \quad (2.6)$$

(2. 5)式에서

$$F_n = K_D \cdot \dot{x}_n - \frac{K_D}{C_D} \cdot F_n \quad \dots \dots \dots \dots \dots \dots \quad (2.7)$$

$$F_{n-1} = K_D \cdot \dot{x}_{n-1} - \frac{K_D}{C_D} \cdot F_{n-1} \quad \dots \dots \dots \dots \quad (2.8)$$

(2. 7)(2. 8)式을 (2. 6)式에 대입하면 (2. 9)式으로

$$F_r = g\dot{x}_r + g\dot{x}_{r+1} + \dots \quad \dots \dots \dots \dots \dots \dots \quad (2.9)$$

나타낼 수 있다.

여기서

$$\alpha = \frac{\Delta t}{2C_D + \Delta t} \frac{K_D}{K_D} C_D, \quad \gamma = \frac{2C_D - \Delta t}{2C_D + \Delta t} \frac{K_D}{K_D} \quad \dots \quad (2. 10)$$

(2. 9)式은 Maxwell型 모델의 復原力を 離散時間系로 表現한 것이다. (2. 9)式의 右辺의 第1項은 2次 微分方程式으로 나타낸 系의 振動方程式에 감쇄항을 添加시킨 것이고 前段階의 應答值에서 計算된 項을 附加抵抗力으로 考慮하면 Maxwell型 모델을 包含한 1質点系의 振動方程式은 (2. 11)式으로 表現할 수 있다.

$$m\ddot{x} + \alpha\dot{x} + K_1x = -m\ddot{z} - \alpha\dot{x}_{n-1} - \gamma P_{n-1} \quad \dots \quad (2. 11)$$

以上의 過程에서 4要素 複合모델의 Maxwell型 모델의 附加抵抗力이 算出되고 Kelvin-Voigt모델의 k' 와 c' 는 그림 2. 1에 나타난 바와 같이 프레임의 粘性要素 c 와 스프링要素 k 에 부가된다.

k' 는 $k / m = w^2$ 에서 k 에 k' 를 附加시켜 (2. 12)式과 같이 된다.

$$w = \sqrt{(k+k')/m} \quad \dots \dots \dots \dots \dots \dots \quad (2. 12)$$

(2. 12)式에서 프레임의 固有振動數를 구할 수 있다.

c' 는 $c / m = 2hw$ 에서 c 에 c' 를 附加시켜 (2. 13)式과 같이 된다.

$$h = (c + c') / (2wm) \quad \dots \dots \dots \dots \dots \dots \quad (2. 13)$$

(2. 13)式에서 프레임의 感쇄정수를 구할 수 있다.

3.1 Runge-Kutta法

3.1.1 粘性감쇄를 가진 1質点系의 線形振動方程式의 解法

地震應答의 計算法으로서 Taylor 展開法을 利用한 近似計算法 즉, 一般微分方程式의 計算에 依한 數值解釋法 中 하나인 Runge-Kutta法을 使用한다.

一質点系의 線形方程式은 다음식을 利用한다.

$$\ddot{x} + 2hw\dot{x} + w^2x = \ddot{z} \quad \dots \dots \dots \dots \dots \dots \quad (3. 1)$$

여기서 $x=y$ 로 놓으면 (3. 2)式으로 나타낼 수 있다.

$$\begin{aligned} x' &= f(t, x, y) = y \\ y' &= g(t, x, y) = -2hw y - w^2 x - \ddot{x} \end{aligned} \quad \dots \dots \dots \dots \dots \dots \dots \quad (3.2)$$

初期條件을 (3.3)式과 같이 나타내면

$$\begin{aligned} x(t_0) &= x_0 \\ y(t_0) &= \dot{x}(t_0) = y_0 \end{aligned} \quad \dots \dots \dots \dots \dots \dots \dots \quad (3.3)$$

$$x(t_0 + \Delta t) = x_0 + (K_1 + 2K_2 + 2K_3 + K_4) / 6$$

$$\dot{x}(t_0 + \Delta t) = \dot{x}_0 + (L_1 + 2L_2 + 2L_3 + L_4) / 6$$

로 된다. 上記式에서 t_0 를 消去하고, t_0 의 값에 $n-1$, $t_0 + \Delta t$ 의 값에 n 을 代入하면

$$x_n = x_{n-1} + \Delta t \cdot x_{n-1} + \Delta t(L_1 + L_2 + L_3)/6 \quad \dots \dots \dots \dots \dots \dots \dots \quad (3.4)$$

$$\dot{x}_n = \dot{x}_{n-1} + (L_1 + 2L_2 + 2L_3 + L_4)/6 \quad \dots \dots \dots \dots \dots \dots \dots \quad (3.5)$$

$$\ddot{x}_n = -\{2hw\dot{x}_n + w^2 x_n + \ddot{z}_n\} \quad \dots \dots \dots \dots \dots \dots \dots \quad (3.6)$$

應答의 結果로서 (3.4)式에서 應答變位, (3.5)式에서 應答速度를 얻을 수 있고 應答加速度는 相對加速度를 나타내는 (3.6)式과 振動加速度 \ddot{z}_n 의 合으로 얻을 수 있다.

3.2.1 Maxwell型 모델을 附加시킨 1質點系의 振動方程式의 解法

Maxwell型 모델을 附加시킨 1質點系의 振動方程式은 Runge-Kutta法과 다소 다르게 결과가 나타난다. Maxwell型 모델을 附加시킨 1質點系 振動方程式은 다음식을 利用한다.

$$\ddot{x} + 2hw_0 \cdot \dot{x} + w_0^2 \cdot x = -\ddot{z} - (A_1 \cdot \dot{x}_{n-1} + B_1 \cdot P_{n-1}) \quad \dots \dots \dots \quad (3.8)$$

식 (3.8)에서 $x=y$ 로 놓으면 (3.9)式으로 나타낼 수 있다.

$$x' = f(t, x, y) = y$$

$$y' = g(t, x, y) = -2hw y - w^2 x - \ddot{z} - (A_1 \cdot y_{n-1} + B_1 \cdot P_{n-1})$$

$$x_n = x_{n-1} + \Delta t \cdot x_{n-1} + \frac{\Delta t(L_1 + L_2 + L_3)}{6} \quad \dots \dots \dots \dots \dots \dots \dots \quad (3.9)$$

$$\dot{x}_n = \dot{x}_{n-1} + \frac{(L_1 + 2L_2 + 2L_3 + L_4)}{6} \quad \dots \dots \dots \dots \dots \dots \dots \quad (3.10)$$

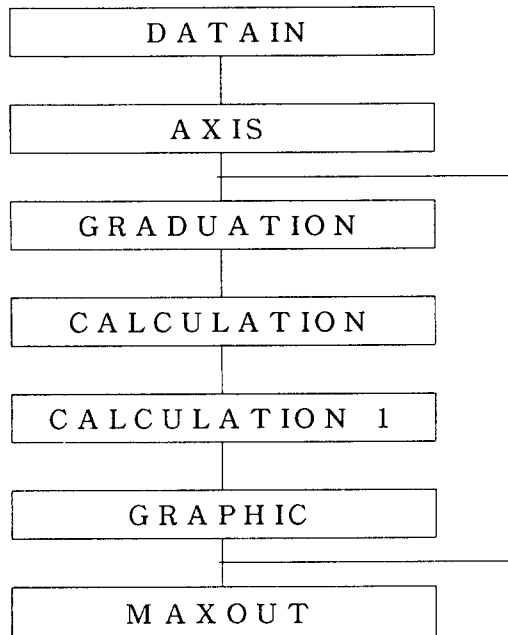
$$\ddot{x}_n = -\{2hw\dot{x}_n + w^2 x_n + \ddot{z}_n + (A_1 \cdot \dot{x}_{n-1} + A_2 \cdot P_{n-1})\} \quad \dots \dots \dots \dots \dots \dots \dots \quad (3.11)$$

4. 振動應答解析 프로그래밍

4. 1 프로그래밍의 概要

댐퍼가 附着된 재진보 構造의 振動應答을 시뮬레이션하기 위한 프로그래밍은 振動方程式을 時間에 따른 數值積分을 行하였다. 數值積分의 方法으로서 Runge-Kutta法을 使用하였다. Flow chart를 表4. 1에 나타낸다.

表 4. 1 Flow chart



4. 2 理論解와의 比較에 依한 應答解析 프로그래밍의 檢證

4. 2. 1 점성감쇄를 가진 一般的인 1質點系振動方程式의 境遇

프레임의 自由振動 理論式과 프로그래밍에 依한 解析結果를 比較한다. (4. 1)式에 理論式을 나타낸다.

$$X = \frac{X_0}{\sqrt{1-H^2}} e^{-h w t} \sin(\sqrt{1-h^2} w t + \phi) \quad \text{--- (4. 1)}$$

X_0 : 初期變位

h : 감쇄정수

w : 固有振動數(rad/sec)

ϕ : $\tan^{-1} \sqrt{1-h^2} / h$

(4. 1)式과 같은 條件으로 프로그램에 데이터를 入力한 解析結果를 그림4. 1에 나타낸다.

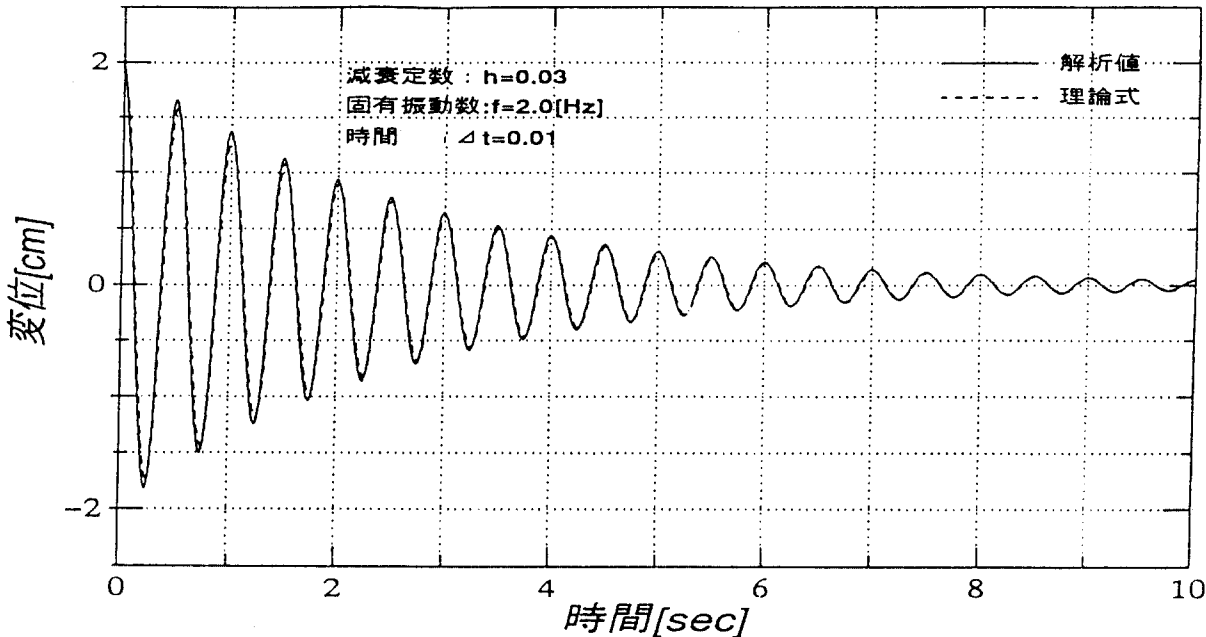


그림4. 1 自由振動의 理論值와 解析值의 比較

4. 2. 2. Maxwell流體의 땜퍼를 附加시킨 振動方程式의 境遇.

Maxwell모델을 附加시킨 1質點系의 振動方程式을 利用하여 試驗體를 對象으로 解析을 行한다. 프로그래밍을 實行할시 다음점을 考慮해야한다. 땜퍼의 抵抗力은 보의 剪斷力 形態로서 프레임에 전해지지만 프레임을 스프링 一質點系로써 모델화하는 境遇 平衡條件으로부터 水平抵抗力 Q 는 땜퍼抵抗力 F_D 에 (스팬/충고)의 比를 곱한 것이 된다. 解析對象 試驗體는 땜퍼가 設置되지 않은 유공보 프레임과 粘彈性 땜퍼가 附着된 프레임의 自由振動實驗에 의해서 일어진 各 固有振動數에서 水平剛性을 算出한다. 各 水平剛性의 差가 粘彈性댐퍼의 스프링정수이다.

① 땜퍼가 없는 유공보 프레임.

$$\text{수평강성 } K' = 564(\text{kg/cm})$$

② 땜퍼가 설치된 프레임

$$\text{수평강성 } K'' = 1152.9(\text{kg/cm})$$

①, ②에서 땜퍼의 스프링定數 K 는 (4.2)式으로 나타낸다.

$$K = K'' - K' \quad \dots \dots \quad (4.2)$$

(4. 2)式에서 K 는 588.9(kg/cm)가 된다. 그 結果 땜퍼가 없는 유공보 프레임의 境遇 水平變位에 對한 開口部 相對變位의 倍率比가 1.64가 되는데 比해 粘彈性 땜퍼가 設置된 프레임의 境遇 1.03 까지 내려갔다. 이것은 땜퍼 自體가 가진 刚性이라고 思料된다. 表 4.2에 1層 1스팬 프레임의(柱脚 Pin을 가진 라멘의 境遇) 構成部材와 프레임 解析結果를 나타낸다.

表 4. 2 프레임 構成部材

彈性係數	$E = 2.1 \times 10^9 (\text{kg}/\text{cm}^2)$
프레임높이	$H = 125 \text{ cm}$
스팬	$L = 225 \text{ cm}$
開口部幅	$\alpha L = 50 \text{ cm}$
充腹部의 2次모멘트	$I_B = 664 \text{ cm}^4$
開口部의 2次모멘트	$I_F = 0.42875 \text{ cm}^4$
기둥의 斷面 2次모멘트	$I_C = 383 \text{ cm}^4$
댐퍼 스프링 定數	$K_D = 588.9 (\text{kg}/\text{cm})$

5. 結論

댐퍼스프링을考慮한 시스템의水平剛性은 $1406.1(\text{kg}/\text{cm})$, 單位水平變位에對한 댐퍼變位의倍率 β 는 1.03으로 나타났다. 이와같이粘彈性댐퍼의理論모델(Kelvin-Voigt모델과 Maxwell流體모델의4要素複合모델)이添加된振動方程式을時間에따라數值積分하는方法을利用한解析프로그램에댐퍼프레임의變數를入力하여地震波加振에의한解를比較한結果粘彈性댐퍼의理論모델을利用한解析프로그램이粘性댐퍼가附着된프레임의舉動을把握하는데適合하다는것을確認할수있었다.

6. 參考文獻

1. R. Ivan Skinner, William H. Robinson, Graeme H. Mcverry, "An Introduction to seismic Isolation" John willy & Sons, 1992. 6
2. 免震構造入門, 日本免震構造協會編, 1995. 9
3. 免震構造設計指針, 日本建築學會, 1993. 12